

01
Электроконвекция слабопроводящей жидкости в горизонтальном конденсаторе при униполярной инжекции заряда

© В.А. Ильин

Пермский государственный национальный исследовательский университет,
 614990 Пермь, Россия
 e-mail: ilin1@psu.ru

(Поступило в Редакцию 3 марта 2016 г. В окончательной редакции 7 июня 2016 г.)

Изучена электроконвекция слабопроводящей жидкости в горизонтальном плоском конденсаторе при униполярной инжекции заряда. В одномерном случае исследована динамика переноса заряда через неподвижную изотермическую жидкость в модулированном электрическом поле. Изучено влияние амплитуды и частоты модуляции на пространственно-временные распределения плотности заряда и потенциала электрического поля. В двумерном случае исследованы нелинейные режимы электроконвекции неизотермической слабопроводящей жидкости в постоянном электрическом поле. Изучены гистерезисные переходы между двумя разными по интенсивности режимами электроконвекции.

DOI: 10.21883/JTF.2017.01.44010.1787

Введение

Несмотря на ряд экспериментальных и теоретических работ [1–3], остаются открытыми вопросы, связанные с возникновением и эволюцией нелинейных электроконвективных движений [4]. В рамках существующих задач хорошо изучена конвекция в постоянном электрическом поле. Вопросам конвекции в переменных и модулированных электрических полях уделяется недостаточно внимания.

Существуют диэлектрофоретический [5], электрокондуктивный [6] и инжекционный [7–9] механизмы электроконвекции в жидких диэлектриках. В настоящей работе исследована динамика переноса заряда через слабопроводящую жидкость в постоянном или модулированном электрическом поле горизонтального плоского конденсатора при униполярной инжекции заряда. Используется электрогидродинамическое приближение, когда магнитными эффектами пренебрегают по сравнению с электрическими. Рассматривается модель, в которой плотность электрических зарядов, инжектируемых с катода, прямо пропорциональна нормальной составляющей вектора напряженности электрического поля в конденсаторе [4,9,10]. Инжектируемые с поверхности катода заряды движутся через слой жидкости, изменяя в нем распределение электрического поля.

В работах [9,10] проведены линейный анализ и нелинейное исследование в двумерном случае в постоянном электрическом поле, в [10] — изотермический, в [9] — неизотермический случаи. В настоящей работе рассмотрена одномерная задача в модулированном электрическом поле, двумерная задача в постоянном электрическом поле.

Постановка задачи

Рассмотрим бесконечный плоский горизонтальный слой вязкой несжимаемой слабопроводящей жидкости

в вертикальном модулированном электрическом поле. Ось x направлена вдоль нижней границы слоя, ось z — перпендикулярна границам слоя. Два плоских электрода лежат в плоскостях $z = 0$ и $z = h$, h — толщина слоя.

Идеально тепло- и электропроводные пластины конденсатора нагреты до разной температуры — $T(0) = \Theta$, $T(h) = 0$. Здесь T — температура, отсчитываемая от температуры верхнего электрода, Θ — характерная разность температур. Случай $\Theta > 0$ соответствует нагреву снизу. На катоде (нижнем электроде) потенциал электрического поля равен нулю $\varphi(0) = 0$, на аноде (верхнем электроде) — модулируется по закону $\varphi(h) = U(1 + \eta \sin(2\pi vt))$. Здесь U — напряжение, η, v — амплитуда и частота модуляции электрического поля. С катода происходит униполярная инжекция электрического заряда. Плотность зарядов у катода пропорциональна нормальной составляющей вектора напряженности поля $\rho_e = aE_z$, где a — коэффициент, характеризующий степень инжекции.

Движение жидкости и свободных зарядов в слое описывается системой уравнений электрогидродинамики

$$\begin{aligned} \rho \left(\frac{\partial \mathbf{v}}{\partial t} + (\mathbf{v} \cdot \nabla) \mathbf{v} \right) &= -\nabla p + \rho v_0 \Delta \mathbf{v} + \rho_e \mathbf{E} + \rho \mathbf{g}, \\ \frac{\partial T}{\partial t} + (\mathbf{v} \cdot \nabla) T &= \chi \Delta T, \quad \text{div} \mathbf{v} = 0, \quad \rho = \rho_0(1 - \beta T), \\ \text{div}(\varepsilon \varepsilon_0 \mathbf{E}) &= \rho_e, \quad \mathbf{E} = -\nabla \varphi, \\ \frac{\partial \rho_e}{\partial t} + \text{div}(\rho_e \mathbf{v} - b \rho_e \mathbf{E}) &= 0, \end{aligned} \tag{1}$$

где ρ — массовая плотность жидкости, \mathbf{v} — вектор скорости жидкости, p — давление, v_0 — коэффициент кинематической вязкости, ρ_e — плотность свободных зарядов, χ — коэффициент температуропроводности, β — коэффициент теплового расширения жидкости, ε — диэлектрическая проницаемость среды, ε_0 — электрическая постоянная, b — подвижность зарядов, \mathbf{E} — напряженность, φ — потенциал поля.

Границы слоя считаются твердыми, непроницаемыми, на них выполняются условия прилипания — скорость равна нулю:

$$z = 0: \quad \mathbf{v} = 0, \quad \varphi = 0, \quad \rho_e = aE_z = -a \frac{\partial \varphi}{\partial z}, \quad T = \Theta,$$

$$z = h: \quad \mathbf{v} = 0, \quad \varphi = U(1 + \eta \sin(2\pi vt)), \quad T = 0. \quad (2)$$

Используем безразмерные переменные на основе масштабов: времени — время вязкой диссипации h^2/ν_0 , расстояния — расстояние между электродами h , скорости — ν_0/h , потенциала — U , поля — U/h , давления — $\rho\nu_0^2/h^2$, температуры — Θ , частоты — ν_0/h^2 , плотности заряда — $\varepsilon\varepsilon_0 U/h^2$.

После обезразмеривания система уравнений (1) с граничными условиями (2) может быть приведена к виду

$$\begin{aligned} \frac{\partial \mathbf{v}}{\partial t} + (\mathbf{v} \cdot \nabla) \mathbf{v} &= -\nabla p + \Delta \mathbf{v} - \text{Gr}_e \rho_e \nabla \varphi + \text{Gr} T \boldsymbol{\gamma}, \\ \frac{\partial T}{\partial t} + (\mathbf{v} \cdot \nabla) T &= \frac{1}{\text{Pr}} \Delta T, \\ \text{div} \mathbf{v} = 0, \quad \Delta \varphi + \rho_e &= 0, \\ \frac{\partial \rho_e}{\partial t} + (\mathbf{v} \cdot \nabla) \rho_e &= B(\rho_e^2 - \nabla \varphi \cdot \nabla \rho_e), \end{aligned} \quad (3)$$

где $\boldsymbol{\gamma} = (0, 0, 1)$, p — превышение давления над гидростатическим. Граничные условия переписутся

$$z = 0: \quad \mathbf{v} = 0, \quad \varphi = 0, \quad \rho_e = -A \frac{\partial \varphi}{\partial z}, \quad T = 1,$$

$$z = 1: \quad \mathbf{v} = 0, \quad \varphi = 1 + \eta \sin(2\pi vt), \quad T = 0. \quad (4)$$

Здесь введены безразмерные параметры — тепловое (Gr) и электрическое (Gr_e) числа Грасгофа, подвижность зарядов B и параметр инжекции A :

$$\begin{aligned} \text{Gr} = \frac{g\beta\Theta h^3}{\nu_0^2}, \quad \text{Gr}_e = \frac{\varepsilon\varepsilon_0^2 U^2}{\rho\nu_0^2}, \quad \text{Pr} = \frac{\nu_0}{\chi}, \\ B = \frac{bU}{\nu_0}, \quad A = \frac{ah}{\varepsilon\varepsilon_0}. \end{aligned} \quad (5)$$

Числа Грасгофа и подвижность зарядов перепишем [8]

$$\begin{aligned} \text{Gr} = \frac{\text{Ra}}{\text{Pr}}, \quad \text{Ra} = \frac{g\beta\theta h^3}{\nu_0\chi}, \quad \text{Gr}_e = \frac{T_e^2}{M^2}, \quad B = \frac{T_e}{M^2}, \\ T_e = \frac{\varepsilon\varepsilon_0 U}{b\rho\nu_0}, \quad M = \frac{1}{b} \sqrt{\frac{\varepsilon\varepsilon_0}{\rho}}, \end{aligned} \quad (6)$$

где Ra — тепловое число Рэлея, T_e и M — новые электрические параметры.

Рассматриваются плоские возмущения $\mathbf{v} = (u, 0, w)$ и $\partial/\partial y = 0$, вводится функция тока ψ и вихрь скорости Φ :

$$v_x = -\frac{\partial \psi}{\partial z}, \quad v_z = \frac{\partial \psi}{\partial x}, \quad \Phi = (\text{rot} \mathbf{v}) = -\Delta \psi. \quad (7)$$

Вследствие малой инжекции нелинейную задачу можно решать в безындукционном приближении, в котором

предполагается, что изменение распределения заряда, возникающее в результате появления электроконвективных структур, по сравнению с равновесным не вызывает заметного изменения потенциала электрического поля [10]. Система (3) в безындукционном приближении примет вид

$$\begin{aligned} \frac{\partial \Phi}{\partial t} + \frac{\partial \psi}{\partial x} \frac{\partial \Phi}{\partial z} - \frac{\partial \psi}{\partial z} \frac{\partial \Phi}{\partial x} &= \Delta \Phi - E \frac{T_e^2}{M^2} \frac{\partial q}{\partial x} - \frac{\text{Ra}}{\text{Pr}} \frac{\partial T}{\partial x}, \\ \frac{\partial \rho_e}{\partial t} + \frac{\partial \psi}{\partial x} \frac{\partial \rho_e}{\partial z} - \frac{\partial \psi}{\partial z} \frac{\partial \rho_e}{\partial x} &= \frac{T_e}{M^2} \left(\rho_e^2 + E \frac{\partial \rho_e}{\partial z} \right), \\ \frac{\partial T}{\partial t} + \frac{\partial \psi}{\partial x} \frac{\partial T}{\partial z} - \frac{\partial \psi}{\partial z} \frac{\partial T}{\partial x} &= \frac{1}{\text{Pr}} \Delta T, \end{aligned} \quad (8)$$

со следующими граничными условиями

$$z = 0: \quad \psi = 0, \quad \partial \psi / \partial z = 0, \quad q = AE, \quad T = 1,$$

$$z = 1: \quad \psi = 0, \quad \partial \psi / \partial z = 0, \quad T = 0. \quad (9)$$

На боковых границах для всех искомым функций выполняются условия периодичности.

В постоянном электрическом поле в работе [10] найдены распределения равновесных значений потенциала и заряда (при $\mathbf{v} = 0$). Равновесные распределения потенциала, заряда и температуры имеют вид

$$\begin{aligned} \varphi_0(z) = \frac{(1 + 2Az)^{3/2} - 1}{(1 + 2A)^{3/2} - 1}, \quad \rho_{e0} = \frac{-3A^2(1 + 2Az)^{-1/2}}{(1 + 2A)^{3/2} - 1}, \\ T_0 = -z + 1. \end{aligned} \quad (10)$$

В [9,10] безразмерные параметры варьировались в зависимости от параметра F , характеризующего величину приложенного напряжения: $\text{Gr}_e = 5000F^2$, $B = 5F$. Такие соотношения в рамках нашей задачи соответствуют значению параметра $M = 14.14$ и определяют связь между F и T_e следующим образом: $T_e = 10^3 F$.

В [9,10] проведено исследование линейной устойчивости равновесия без нагрева. В этих работах для безразмерного параметра инжекции $A = 0.25$ были вычислены критические параметры, при которых равновесие жидкости в слое теряет устойчивость. При $F^* = 5.44$ возникает неустойчивость относительно возмущений с волновым числом $k^* = 4.6$ (периодом $L = 1.37$).

В [9] учтен неоднородный нагрев — неустойчивость при подогреве снизу связана с монотонной модой, при нагреве сверху возможна колебательная неустойчивость.

Нелинейные режимы изотермической электроконвекции в одномерном случае

В изотермическом случае в модулированном электрическом поле был исследован перенос заряда через слабопроводящую жидкость, находящуюся в равновесии.

В этом случае задача сводится к решению системы уравнений

$$\frac{\partial \rho_e}{\partial t} = B \left(\rho_e^2 - \frac{\partial \varphi}{\partial z} \frac{\partial \rho_e}{\partial z} \right), \quad \frac{\partial^2 \varphi}{\partial z^2} = -\rho_e. \quad (11)$$

Для ее решения использовался метод конечных разностей. Для решения уравнения Пуассона — метод последовательной верхней релаксации [11]. В качестве начальных распределений для потенциала и плотности заряда были взяты распределения (10). Задача решалась на сетке с числом узлов $n = 100$. При вычислениях использовались следующие значения параметров: параметр инжекции $A = 0.25$, подвижность зарядов $B = 25$ (это ниже критического значения $B^* = 27.2$, начиная с которого возникает конвекция.).

Рассмотрим результаты вычислений для частоты модуляции $\nu = 10$ с амплитудой $\eta = 0.1$.

На рис. 1 представлены зависимости потенциала от времени до $t = 1.025$ в разных точках слоя: $z = 1/4$ (1), $z = 1/2$ (2), $z = 3/4$ (3), $z = 1$ (4). Амплитуда колебаний потенциала возрастает от катода к аноду.

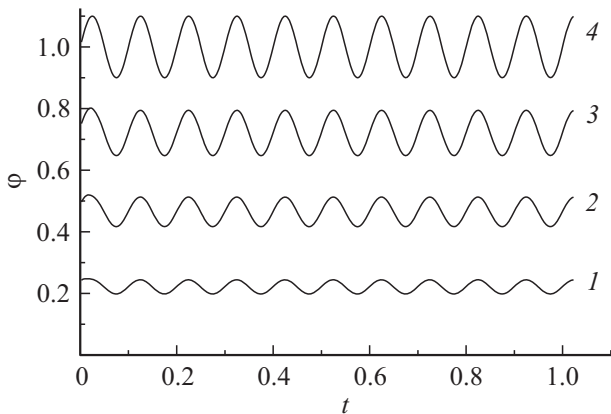


Рис. 1. Зависимость потенциала от времени в разных точках слоя z : $1/4$ (1), $1/2$ (2), $3/4$ (3), 1 (4). Частота $\nu = 10$, амплитуда $\eta = 0.1$.

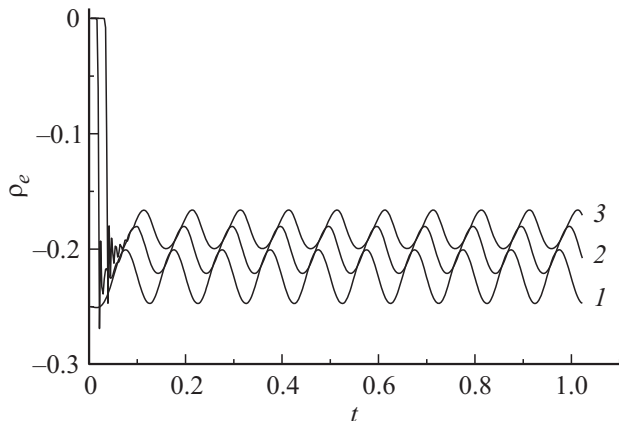


Рис. 2. Зависимость плотности заряда от времени в разных точках слоя z : 0 (1), $1/2$ (2), 1 (3). Частота $\nu = 10$, амплитуда $\eta = 0.1$.

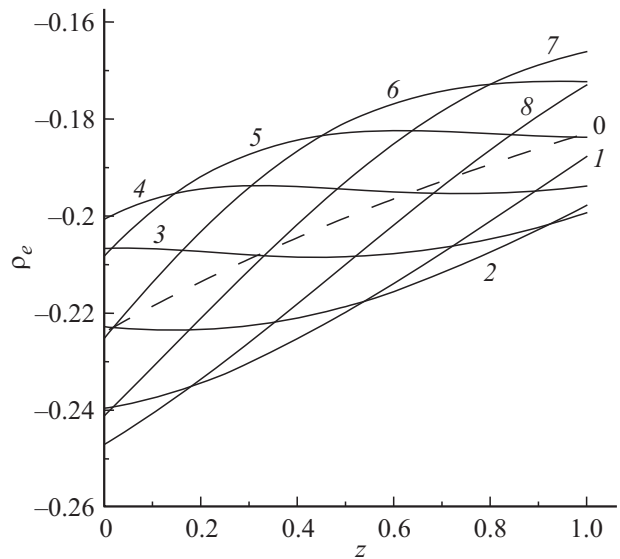


Рис. 3. Распределения плотности заряда в слое в постоянном поле (0), в модулированном поле в разные моменты времени на периоде (за начало отсчета времени взят момент $t = 1.025$, см. рис. 1): $T/8$ (1), $T/4$ (2), $3T/8$ (3), $T/2$ (4), $5T/8$ (5), $3T/4$ (6), $7T/8$ (7), T (8). Частота $\nu = 10$, период колебаний $T = 0.1$, амплитуда $\eta = 0.1$.

На рис. 2 изображены зависимости плотности заряда от времени до момента $t = 1.025$ в разных точках слоя: $z = 0$ (1), $z = 1/2$ (2), $z = 1$ (3). Модуль плотности заряда уменьшается от катода к аноду. Максимумы и минимумы заряда в близких к аноду точках наступают позднее по времени, чем в точках, расположенных ближе к катоду.

Потенциал и плотность заряда колеблются с одинаковой частотой — частотой модуляции около значений, соответствующих постоянному полю.

На рис. 3 приведены распределения плотности заряда от вертикальной координаты в слое в постоянном поле (0) и в модулированном поле в разные моменты времени на периоде: $T/8$ (1), $T/4$ (2), $3T/8$ (3), $T/2$ (4), $5T/8$ (5), $3T/4$ (6), $7T/8$ (7), T (8). За начало отсчета времени взят момент $t = 1.025$ (рис. 1). От катода к аноду через слой жидкости распространяется волна заряда.

Фазовая скорость волны заряда при разных частотах модуляции в среднем оказалась одинаковой и приблизительно равна 28 безразмерных единиц.

Для других частот модуляции вид распределений и их эволюция качественно остаются такими же. При увеличении частоты модуляции при одинаковой амплитуде модуляции увеличивается частота колебания заряда и потенциала. Увеличение амплитуды модуляции при постоянной частоте приводит к увеличению амплитуды колебаний переменных. Отклонение потенциала на аноде от значения в постоянном поле становится более сильным.

Было рассмотрено влияние параметра инжекции A для тех же значений частоты и амплитуды модуляции.

Параметр инжекции практически не влияет на распределение потенциала. Влияние же на плотность заряда существенно. При увеличении инжекции изменяются начальные распределения переменных, растут значение модуля и амплитуда колебаний плотности заряда. Но общая картина эволюции остается прежней.

Нелинейные режимы электроконвекции в двумерном случае

Система (8)–(9) аппроксимировалась конечно-разностными отношениями. Эволюционные уравнения решались по явной схеме, конвективные слагаемые в уравнении для заряда и температуры аппроксимировались разностями „против потока“ [11]. Для уравнения переноса тепла использовались центральные разности. Для удобства работы с условиями периодичности к сетке добавлялись два вертикальных ряда. Вихрь скорости на горизонтальных границах вычислялся по формуле Тома. Для решения уравнения Пуассона использовался метод последовательной верхней релаксации.

Для вычислений выбиралась прямоугольная ячейка с пространственными размерами $L_z = 1$, $L_x = 2$. Горизонтальная длина ячейки соответствует волновому числу $k = 3.14$. Размер сетки брался 21×41 узлов. Расчеты проведены при разных числах Ra , $A = 0.25$, $M = 14.14$, $Pr = 10$. Были обнаружены два режима стационарной конвекции, между которыми наблюдались гистерезисные переходы. На рис. 4 представлены результаты численных расчетов зависимости максимальной функции тока от параметра T_e для $Ra = 500$.

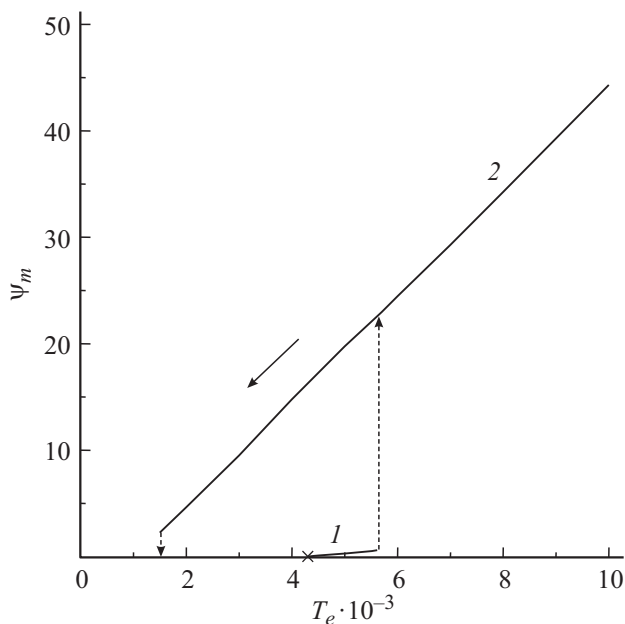


Рис. 4. Зависимость максимальной функции тока от параметра T_e , 1 — режим с маленькой интенсивностью вихрей, 2 — режим с большой интенсивностью вихрей ($Ra = 500$).

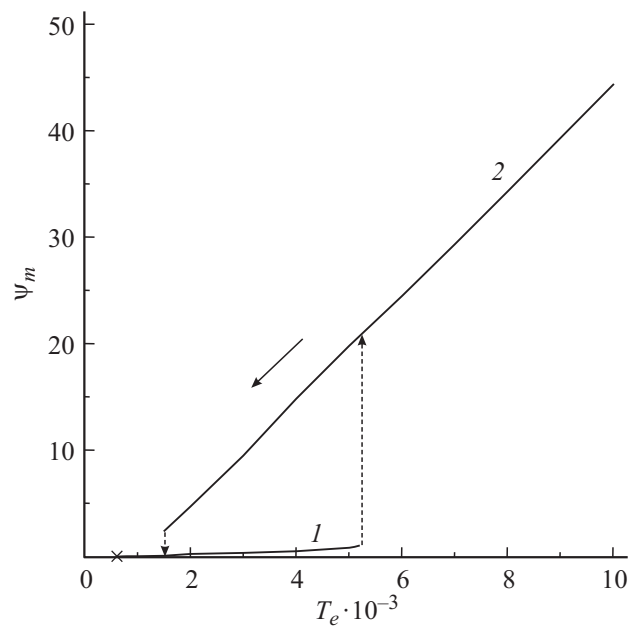


Рис. 5. Зависимость максимальной функции тока от параметра T_e , 1 — режим с маленькой интенсивностью вихрей, 2 — режим с большой интенсивностью вихрей ($Ra = 1500$).

Для $Ra = 500$ при расчете с постоянными начальными условиями было обнаружено, что электроконвекция возникает мягким образом при $T_e = 4.4 \cdot 10^3$, что согласуется с данными линейной теории, и наблюдается режим 1 с маленькой интенсивностью вихрей. С ростом поля при $T_e = 5.7 \cdot 10^3$ происходит скачкообразный переход к режиму конвекции 2 с большей интенсивностью вихрей. Интенсивность этого режима растет с ростом поля.

В интервале $4.4 \cdot 10^3 \leq T_e \leq 5.6 \cdot 10^3$ был обнаружен гистерезис, в котором поведение системы существенно зависит от начальных условий. При вычислении методом продолжения по параметру было обнаружено, что при движении в пространстве параметров справа налево режим 2 существует до $T_e = 1.5 \cdot 10^3$. При меньшей напряженности поля $T_e < 1.5 \cdot 10^3$ в системе независимо от начальных условий затухают все возмущения, и устанавливается равновесное распределение переменных.

В интервале $1.5 \cdot 10^3 \leq T_e \leq 4.3 \cdot 10^3$ в зависимости от начальных условий в системе будет либо равновесие, либо стационарный режим 2, при большем поле $4.4 \cdot 10^3 \leq T_e \leq 5.6 \cdot 10^3$ — реализуется либо режим 1, либо режим 2. При $T_e > 5.6 \cdot 10^3$ сколь угодно малые возмущения равновесия приводят систему после переходных процессов к стационарному режиму 2.

Нелинейный анализ выявил, что при определенных начальных условиях электроконвекция может начаться жестко (пороговым образом) при меньшем электрическом поле, чем предсказывает линейная теория.

При других значениях нагрева ($Ra = 1000, 1250, 1500, 2000$) пороговые значения переходов меняются. Результаты представлены в таблице. В ней приведены

Пороги режимов электроконвекции

Ra	Порог возникновения режима 2, T_e	Порог возникновения режима 1, T_e	Порог перехода от режима 1 к режиму 2, T_e
500	$1.5 \cdot 10^3$	$4.4 \cdot 10^3$	$5.7 \cdot 10^3$
1000	$1.6 \cdot 10^3$	$2.5 \cdot 10^3$	$5.5 \cdot 10^3$
1250	$1.4 \cdot 10^3$	$1.6 \cdot 10^3$	$5.4 \cdot 10^3$
1500	$1.5 \cdot 10^3$	$0.7 \cdot 10^3$	$5.3 \cdot 10^3$
2000	$1.4 \cdot 10^3$	0	$5.1 \cdot 10^3$

пороги возникновения режимов 1 и 2, пороги перехода от режима 1 к режиму 2.

Пороги режима 2 (левая точка гистерезиса) при разных нагревах в среднем не меняются, пороги режима 1 уменьшаются с ростом нагрева, правая точка гистерезиса с ростом нагрева уменьшается. При малых Ra режим 2 возникает жестко раньше мягко возникающего режима 1. С ростом числа Рэлея порог режима 1 уменьшается и сравнивается с порогом режима 2. При дальнейшем увеличении Ra режим 1 начинается раньше режима 2. Это видно из рис. 5, на котором представлены результаты численных расчетов зависимости максимальной функции тока от параметра T_e для Ra = 1500.

Заключение

В настоящей работе в модулированном электрическом поле горизонтального плоского конденсатора в одномерном случае при униполярной инжекции заряда исследована динамика переноса заряда через изотермическую неподвижную слабопроводящую жидкость. В аналогичной постановке также проведено исследование нелинейных режимов электроконвекции неизотермической слабопроводящей жидкости в постоянном электрическом поле в двумерном случае.

В одномерном случае инжектированный с катода заряд распространяется через слой жидкости в виде волны. При увеличении частоты или амплитуды модуляции поля растут соответственно частота или амплитуда колебаний заряда и потенциала. Параметр инжекции практически не влияет на распределение потенциала. Влияние параметра инжекции на плотность заряда существенно. При увеличении параметра инжекции растет амплитуда колебаний заряда.

В двумерном случае существуют два разных по интенсивности нелинейных режима электроконвекции неизотермической слабопроводящей жидкости в постоянном электрическом поле. Эти режимы изучены. Исследованы пороги режимов и гистерезисные переходы между ними.

Исследования выполнены при частичной финансовой поддержке Российского фонда фундаментальных исследований (гранты № 13-01-00171-а, 14-01-31253-мол_а).

Список литературы

- [1] *Остроумов Г.А.* Взаимодействие электрических и гидродинамических полей. М.: Физматгиз, 1972. 292 с.
- [2] *Болога М.К., Гросу Ф.П., Кожухарь И.А.* Электроконвекция и теплообмен. Кишинев: Штиинца, 1977. 320 с.
- [3] *Стишков Ю.К., Остапенко А.А.* Электрогидродинамические течения в жидких диэлектриках. Л.: Изд-во ЛГУ, 1989. 172 с.
- [4] *Жакин А.И.* // УФН. 2006. Т. 176. № 3. С. 289–310.
- [5] *Ильин В.А.* // ЖТФ. 2010. Т. 80. Вып. 8. С. 38–48.
- [6] *Ильин В.А.* // ЖТФ. 2013. Т. 83. Вып. 1. С. 64–73.
- [7] *Сморodin Б.Л., Тараут А.В.* // ЖЭТФ. 2014. Т. 145. Вып. 1. С. 180–188.
- [8] *Traore Ph., Perez A.T., Koulova D., Romat H.* // J. Fluid. Mech. 2010. Vol. 658. P. 279–293.
- [9] *Ильин В.А., Мордвинов А.Н., Петров Д.А.* // ЖЭТФ. 2015. Т. 147. Вып. 1. С. 181–188.
- [10] *Верещага А.Н.* Унарная электроконвекция в плоском слое. Гидродинамика и процессы тепломассопереноса. Свердловск: УрО АН СССР, 1989. С. 42.
- [11] *Таруни Е.Л.* Вычислительный эксперимент в задачах свободной конвекции. Иркутск: Изд-во Иркут. ун-та, 1990. С. 228.